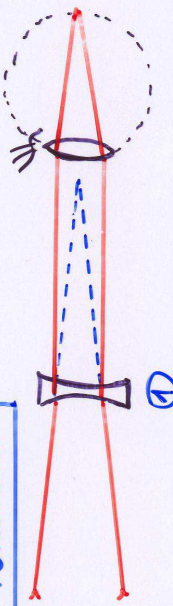


7-25

Galileischer Fernrohr

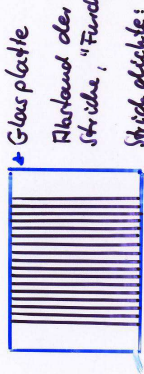


Zerstreuungslinse vor dem Brennpunkt

Vorteil: aufrechtes Bild, (kürzere Bauart)
→ Verwendung als "Openglas"

["Feldstecher": Kepler-Fernrohr, Bild wird durch Spiegel wieder aufgerichtet!]

b) Beugung am Gitter



Huygen'sches Prinzip!

Durch Interferenz entstehen in einem Gitter $\Rightarrow d$ wieder \approx ebene Wellenfronten, jedoch eine Überlagerung verschiedener Röhrungen (Ordnungen!) \rightarrow

7-27

Glasplatte
Rückwand des
Schräg-Findens, d
Strichdichte: $\frac{1}{d}$

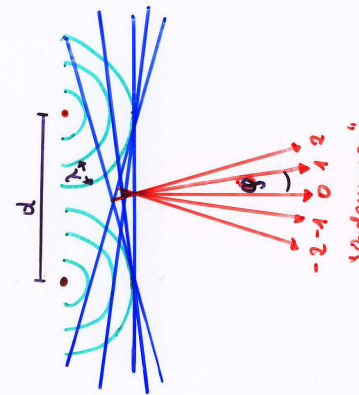
VII. 11 7-28



offenbar gilt:

$$\sin g = \frac{m \cdot 2}{d} \quad \text{also } g = g(m) ?$$

wenn $m \neq 0$



Dispersion: $\frac{dg}{d\lambda} = \frac{m}{d \cdot \cos g} \approx \text{constant} !$

Spektrale Auflösung $R = \lambda / \Delta \lambda \approx$ Zahl der ausgeleuchteten Gitterlinien
Für hohe Dispersion: • hohe Strichdichten (typisch: 500/mm)
oder • Betrieb in hohe Ordnung

d.h. bei 4000 \AA 5-fach größer als bei 4000 \AA !
Problem: Stark abnehmende Distanz zur höheren Ordnungen.
Verdunstung in nicht bewohnte Ordnungen

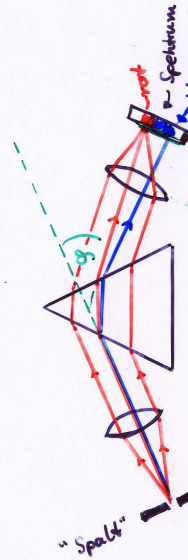
VII. 10²⁶

Spektroapparate (Spektographen)

2 Grundprinzipien:

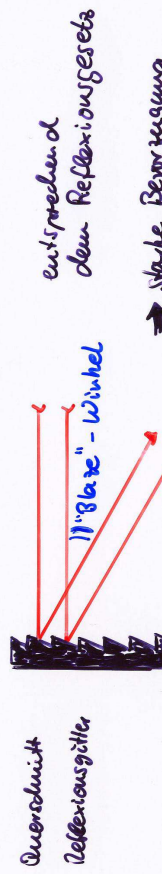
a) Brechung am Prismen

Brechungsindex $n(\lambda) \approx \frac{1}{\lambda^2}$ (ungefähr)



Winkeldispersion: $\frac{dg}{d\lambda} \approx \frac{1}{\lambda^3}$

Ablöse: "Blaze - Gitter": Asymmetrische Form der Furchen



Querschnitt
Reflexionsgitter
1) "Blaze" - Winkel
dem Reflexionsgesetz
 \rightarrow starke Bewegung
in Richtung "Blaze - Winkel"

Problem: Überlappen der Ordnungen

jeder Winkel φ erhält Intensität aus allen Ordnungen

$$\text{d} \cdot \sin \varphi = m \cdot \lambda_m = n \cdot \lambda_n = \dots$$

Ablöse:
Unterdrücken der unerwünschten Ordnungen
durch Farbfilter

oder: Nutzbenutzung des Effekts \Rightarrow

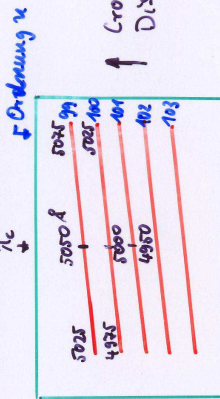
Anordnung der Spektrographen:

- a) hinter dem Teleskop-Fokus, spaltlos
 - \rightarrow alle (punkt förmigen) Objekte im Gesichtsfeld \rightarrow Spektren
 - Nachteil: überlappungen; Auflösung abhängig von Seeing und "Verwackeln"
- b) links dem Teleskop-Fokus, mit "Spalt" in der Brennebene
 - oft mit Fokal-Reduktor für kürzere Bauart (z.B. FORS am VLT)
 - \Rightarrow für hohe Dispersion
 - riesige "Kamera" (für Kollimation und Abbildung)
 - \rightarrow Condé - Spektrograph
 - oder • Echelle - Cassegrain - Spektrograph (siehe oben)
- c) Objektiv- Prisma, - Gitter
 - alle punktförmigen Objekte im Gesichtsfeld \rightarrow Spektren (geringe Dispersion)
 - \rightarrow gut für Durchmusterungen, z.B. "Hamburger Quasar Survey"
- d) über Lichtleitfaser (fiber-fed)

Echelle - Spektrograph (franz. echelle = Leiter)

VII. 12

- Haupt- Gitter, Blaze-Winkel für hohe Ordnungen
- "Cross disperser" (Gitter oder Prisma)
- Geringe Dispersion \perp zum Hauptgitter



$$n \cdot \lambda_c = \text{const.}$$

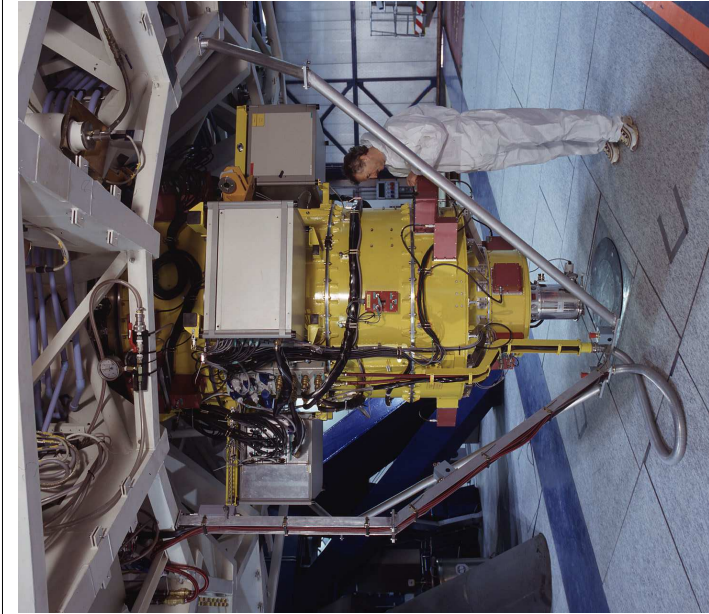
Haupt- Dispersion

Vorteil: kompakte Anordnung des Spektros

Nachteil: komplizierte Datenreduktion: Geometrie, Innenfokussierung, Brennweitenänderung, ...

Beispiel:

Cassegrain-
Spektrograph:
FORS1 am ESO-VLT
(Focal Reducer
Spectrograph)



Multiple-Object-Spektrographen

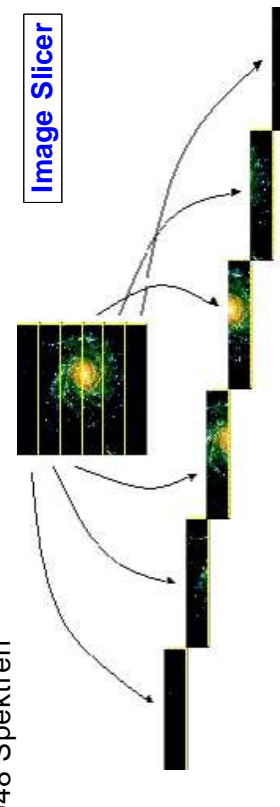
- erlauben gleichzeitige Aufnahme vieler Spektren ausgewählter Bildpunkte (z.B. Sterne) im Gesichtsfeld
- **FLAMES am ESO-VLT** (*Fibre Large Area Element Spectrograph*)
 - Positionierungs-Einheit für die Eintritts-Enden von ca. 150 Glasfasern in der Brennebene
 - Faser-Enden sitzen in den langen Eintrittsspalten von mehreren Spektrographen
 - Während einer Belichtung kann in einem zweiten Rahmen die nächste Faser-Positionierung vorbereitet werden

- b) durch optisches Zerlegen des Bildes in Streifen (*image slicing*)

Abb.: SINFONI am ESO-VLT

Spectrograph for INtegral Field Observations in the Near Infrared

- 32 *slices* gelangen separat in den Spektrographen-Langspalt
- entlang des Spaltes werden 64 Bildpunkte unterschieden
- 2048 Spektren



Integral-Field-Spektrographen

- gleichzeitige Aufnahme der Spektren *aller* Bildpunkte im Gesichtsfeld („3D-Spektroskopie“)

a) mit Glasfaser-Array
Abb.: PMAS am Calar Alto

Potsdam Multi-Aperture Spectrograph

- Eintrittslinsen in kompaktes Bündel von 256 Fasern in der Brennebene
- Faser-Enden sitzen im langen Eintrittsspalt eines Spektrographen



Detektoren

1) Auge

- gute räumliche Auflösung, $\approx 6 \cdot 10^6$ Pixel * ("Picture Elements", Bildpunkte)
- gute Zeitauflösung (0.1 sec)
 - keine längere Inte gration möglich
- Empfindlichkeitschwelle:
- Punktquelle mit $\approx 10^4$ Photonen/sec \Rightarrow Stern 6. Größe
- Empfindlichkeit maximieren bei $5100 \text{ Å} \pm 500 \text{ Å}$ (Hauptspektralbereich)
- Schwarzwolf; bei stärkerem Interferieren Farben abweichen!
- enorme Dynamik ($= 10^9$)

4) CCD (Charge Coupled Device)

- Halbleiter - Array, spaltenweise Anordnung
- Zahl der Pixel z.B. $1024 \times 1024 \approx 10^6$
- Pixelgröße z.B. $30\mu\text{m} \cdot 15\mu\text{m}$
- durch Belichtung: Ansammlung von Elektronen in Potentialniedern
- Auslesen nach der Belichtung durch thermisches Anlegen von Bleikästen auf die Zellen bzw. Spalten
→ sogenannt "Vorfüllen" der Elektronen
→ auslesen sequentiell über eine Ebene des Arrays
- Vorteile:**
 - linear, hohe Dynamik
 - hohe Bildauflösung (bis 80%)
 - geringes Rauschen (bei Kühlung mit fl. N₂!)
- Nachteile:**
 - nicht UV, IR - empfindlich
 - begrenzte Größe = quadratisch
 - keine Zeitauflösung
 - Bedienungs- und Wartungsaufwands ("Fringes")

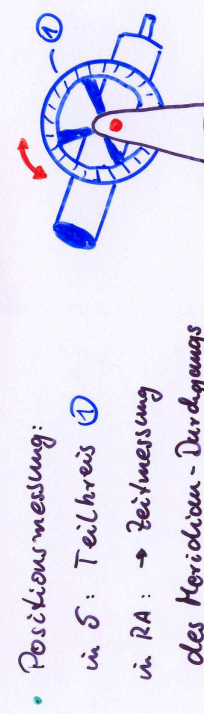
VII. 16

Teleskop - Montierungen

Meridian - Kreis

historische Bedeutung \rightarrow Positionsbestimmungen

- Teleskop nur um 1 Achse schwenkbar

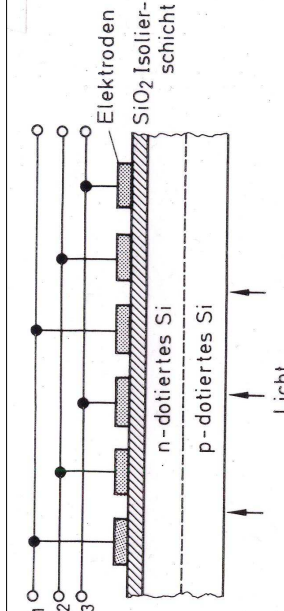


• Positionsmeßung:

in S: Teilkreis ①

in RA: \rightarrow Zeitmessung

des Meridien-Durchgangs



Parallaktische Montierung

= Normalfall bei optischen Teleskopen (bis ca. 6m Öffnung)

1 Achse parallel zur Erdachse

Vorteil: einfache Nachführung der möglichen Bewegung
(gleichförmige Drehung um die Polachse!)

Nachteil: asymmetrisch belastete schwere Achse
 \rightarrow (bei sehr großen Teleskopen) med. aufwendig, groß, schwer

Type 3. B.:

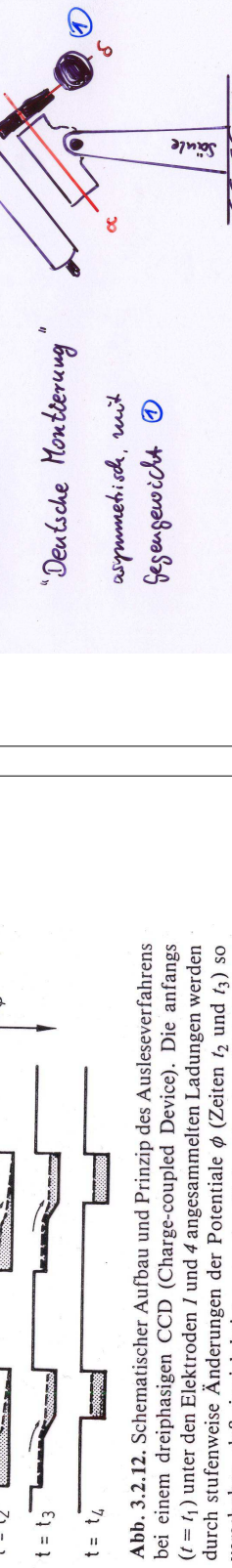
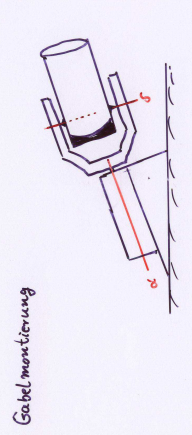


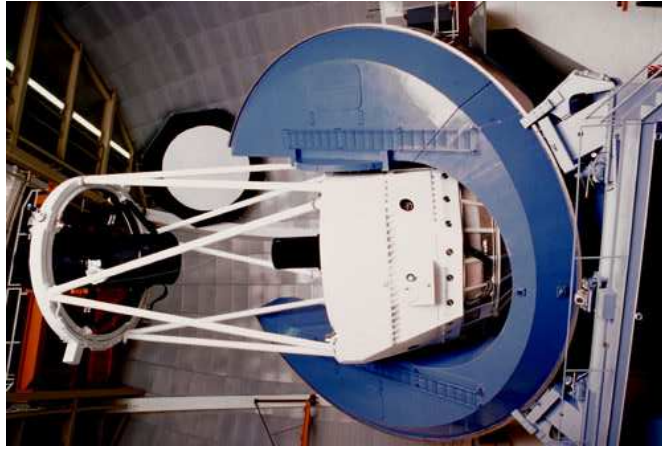
Abb. 3.2.12. Schematischer Aufbau und Prinzip des Ausleseverfahrens bei einem dreiphasigen CCD (Charge-coupled Device). Die anfangs ($t = t_1$) unter den Elektroden 1 und 4 angesammelten Ladungen werden durch stufenweise Änderungen der Potentiale ϕ (Zeiten t_2 und t_3) so verschoben, daß sie sich bei t_4 unter den Elektroden 2 und 5 befinden.

Gabel-Montierung



Oft in Form einer *Hufeisen-Montierung*
Ab.: 4m-Teleskop auf dem Kitt Peak

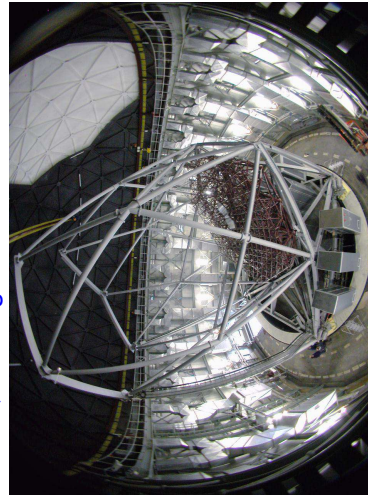
7-41



... Oder auch gar keine Montierung:

Feststehender Primärspiegel

- Nachführung des Fokalinstruments (z.B. Lichtleitfaser-Eintritt)
- Preiswertes Teleskop für Spektroskopie
- Beispiele
 - Hobby-Eberly-Teleskop (HET) in Texas/USA: Effektive Fläche wie 9.2m, 91 Segmente



- Abb.: Southern Africa Large Telescope (SALT) in Südafrika: Effektive Fläche wie 9.2m, 91 sphärische (!) Segmente

7-43

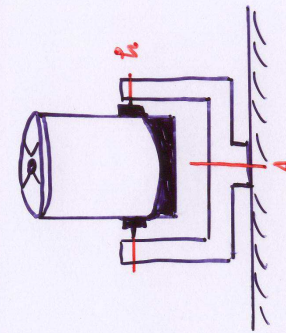
7-42

Azimutale Montierung

Radio telescope; alle beweglichen Teleskope > 6m Öffnung
meist als Gabelmontierung
= 1 Achse senkrecht (zum Erdhafen)

Nachteil:

- Nachführungen, um beide Achsen ungleichförmig zu bewegen
- kein Problem bei Computer-Navigation
- Bildfelddrehung
- ggf. Kompensation durch zusätzliche Optik / mechanik



Vorteile: kompakt, mechanisch ausgewogen → leichter, billiger!

7-44

Weltraum - Teleskop

- Schweren des gesunken Satelliten ("Pointed Observation") durch Drehverlängerung von Trägheitskreiseln (Drehimpulserhaltung!)

- oder
 - steiferausweises Abstoßen des Himmels ("Scanning")

- z.B.:
 - Astrometrie-Satelliten (HIPPARCOS, Gaja)
 - ROSAT (Röntgen) während des All Sky Surveys
 - Mikrowellen-Satelliten COBE, WMAP, Planck

7-44

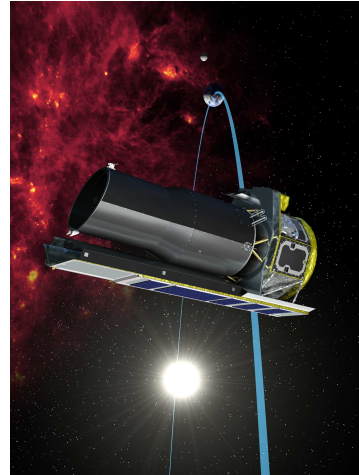
Instrumente für andere Spektralbereiche

Nahes Infrarot (J, H, K-Band)

- Spiegelteleskop am Erdboden
- gekühlte Fokalinsumentierung
- Halbleiter-Detektoren (CCD-ähnliche Arrays)
- z.B. CRIRES am ESO-VLT
- **Ab:** Spitzer Space Observatory

Mittleres und fernes Infrarot

- Spiegelteleskop im Weltraum
- weg von der Erde
- Wärmeschild gegen Sonne
- alle Komponenten gekühlt
- Kühlmittelvorrat (flüssiges Helium) begrenzt Lebensdauer
- **Ab:** Spitzer Space Observatory



Das Hubble Space Telescope (HST)

benannt nach Edwin P. Hubble, dem Entdecker der "Nebelflucht"

- Finanzierung durch NASA und ESA (ca. 10^{10} US-Dollar)
- der gesamten *Scientific Community* zugänglich
- vielseitiges Großteleskop auf niedriger Erdumlaufbahn ($U = 90 \text{ min}$)
- Baubeginn 1978, Start mit dem Space Shuttle am 25.04.1990
- Primärspiegel mit **2.4 m Durchmesser** Cassegrain (Ritchey-Chrétien)
- Wellenlängenbereich: Ultraviolet bis Infrarot ($1100 \text{ Å} - 2.6 \mu\text{m}$)



Ultraviolet (UV)

- Spiegelteleskop im Weltraum
- Detektoren:
 - MAMA (Multi-Anode Microchannel Array)
 - CCD nur im nahen UV
- **Ab:** International Ultraviolet Explorer
- UV-Spektrograph (Low-resolution- und Echelle-Mode)
- extrem erfolgreich: ~100 000 Spektren

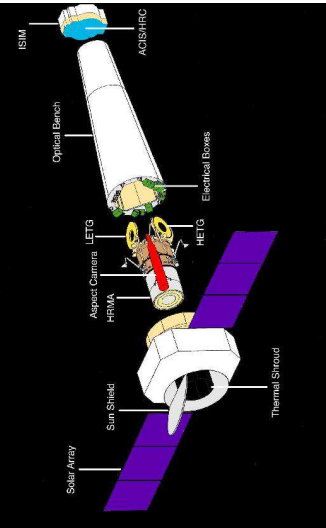


Auflösungsvermögen fast nur beugungsbegrenzt: $0.05''$ im UV

- zunächst nicht erreicht wegen starker sphärischer Aberration (Herstellungsfehler des Hauptspiegels)
- doch noch hergestellt durch Einsetzen der Korrektur-Optik COSTAR (First Servicing Mission, Dez. 1993)
- Servicing Missions mit dem Space Shuttle (Reparaturen, Wiederanheben der Umlaufbahn): SM1 (12-1993), SM2 (2-1997), SM3A (12-1999), SM3B 3-2002), SM4 (12. Mai 2009)
- Fokalinstrumente (heutiger Stand)
 - Wide Field and Planetary Camera
 - Space Telescope Imaging Spectrograph (STIS) - repariert in SM4
 - Advanced Camera for Surveys (ACS)
 - Cosmic Origin Spectrograph (COS) - neu in SM4



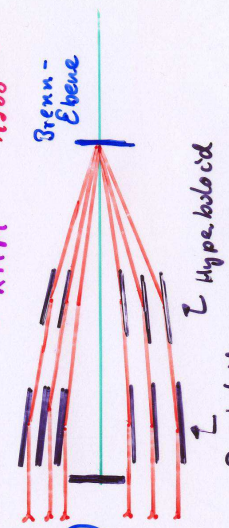
CHANDRA X-ray Observatory (CXO) der NASA

- Gestartet mit Space Shuttle: 23.07.1999
 - Hilsraketen → Umlaufzeit 64 Stunden
 - hoher, elliptischer Orbit, 10 000 ... 140 000 km
 - meist über Van-Allen-Strahlungsgürteln
 - 4-fach geschachteltes Wolter-Teleskop, 10m Brennweite (!)
 - HRC: High Resolution Camera mit Micro-Channel-Plates
 - ACIS: Advanced CCD Imaging Spectrometer (energieauflösend!)
 - Optional: Transmissionsgitter (Golddrähte) im Hauptstrahlengang
 - HETGS: High Energy Transmission Grating Spectrometer
 - LETGS: Low Energy Transmission Grating Spectrometer
- 

XMM-Newton (ESA, 1999-)

- 3 parallele Teleskope, je 58 geschichtete Spiegel
 - 2 Teleskope stets mit Reflexionsgitter (Gold, flacher Einfall)
 - effektive Fläche: Image $\sim 1000 \text{ cm}^2$, Spektrographen $\sim 100 \text{ cm}^2$
- 

HEAO-2 ("Endü") 1978

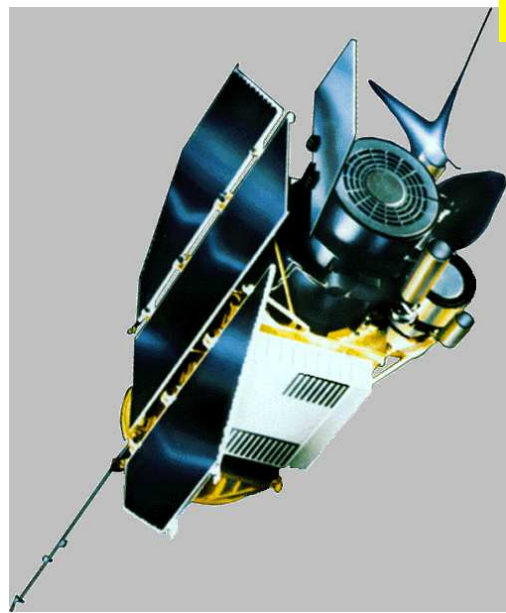
- Problem: Reflexion am Spiegel nur unter ganz flachem Winkel
 - ROSAT 1990 - 1998
 - Chandra 1999 - 2009
 - xMMS 1999 -
 - Wolter - Teleskop (H. Wolter, Kiel, 1951)
 - viele, konzentrische geschichtete Spiegel
 - Paraboloid
 - Hypaboloid
 - Brenn-Ebene
- 

Detektoren

bis ROSAT: Prinzip des Geiger-Müller-Zählrohrs
 Pixel durch gitterförmige Anordnung der Entladungsdrähte
 heute: spezielle Röntgen-CCDs
 ein Photon erzeugt viele Elektronen (Maß für Energie → Spektrum)
 permanentes rasches Auslesen

ROSAT (ROentgen SATtelit, 1990- 1998)

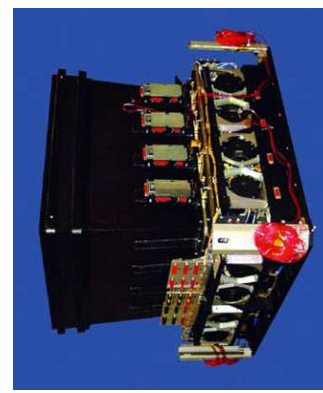
Zwei Arbeitsphasen:

- Gesamt-Himmelsdurchmusterung: ROSAT All Sky Survey (RASS)
 - Pointed Observations
 - Zwei Kameras:
 - High-Resolution Imager (HRI)
 - PSPC:
 "Spektroskopie"
 sehr geringer Auflösung
- 

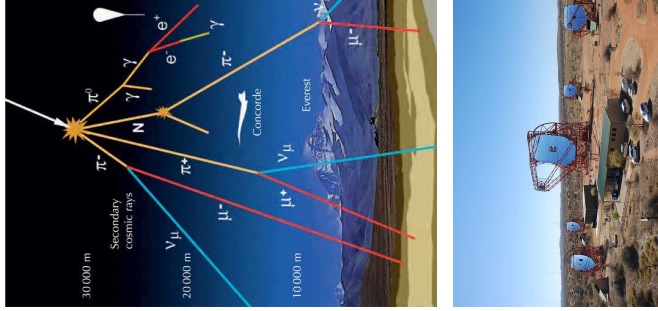
Gamma-Strahlen ($10^5 \dots 10^{10}$ eV)

Cerenkov-Teleskope

- aktuelle Satelliten
 - INTEGRAL (2002 -)**
(International Gamma Ray Astrophysics Laboratory), von ESA, USA, Russland u.a.
grosses Instrument (4t, → Abb.), hohe Bahn Teleskop-Prinzip: *Coded Mask Technique*, Auflösung 12'
 - SWIFT (NASA) (Nov. 2004 -)**
speziell zur Beobachtung von γ-Ray-Bursts (GRBs)
 - Überwachung eines grossen Gesichtsfelds ($\frac{1}{6}$ des Himmels!)
 - binnen 20...72s Schwenk → Beobachtung des *Afterglows*
 - BAT (Burst Alert Telescope) für γ-rays, *Coded Mask*, Auflösung 4'
 - XRT (X-Ray Telescope)
 - UVOT (UV/Optical Telescope mit Spektrograph (→ Rotverschieb.)



- Kosmische Strahlen lösen in der Hochatmosphäre einen Cerenkovschauer aus
 - Sekundärteilchen sind z.T. schneller als Lichtgeschwindigkeit im Medium → Cerenkov-Leuchten
 - Man kann unterscheiden, ob ein Luftschauer von einem γ-Quant oder einem kosmischen Teilchen ausgelöst wurde
 - Ereignisse sind sehr selten → spezielle Teleskop-Arrays zur Überwachung großer Flächen
 - mehrere Teleskope zur stereoskopischen Rekonstruktion des Schauers
 - aktuelle Teleskope: MAGIC (Kanarische Inseln), H.E.S.S. (Südafrika, Abb.), VERITAS (Arizona, USA)



Coded Mask Technique



- 7-54
VII. 20

Radio - Teleskope

- Reflektor: *Parabolspiegel*
Genauigkeitsanforderung \approx Wellenlänge
(z.B. bei $\lambda = 21$ cm reicht Hartendruck!)

- Detektor: im Primärfokus [sche auch: Cassegrain - Anordnung]
 - Antenne (meist "Horn - Antenne") ↗ Beugungsbild,
 - + Verstärker (verstärkt!)
- d.h. nur 1 Bildpunkt

- 1) Einzel - Antenne z.B. *Eifelberg / Eifel*
schlechtes Auflösungsvermögen.
z.B. $D = 100\text{ m}$, $\lambda = 21\text{ cm}$
→ 9° (vgl. VII.1)

- 7-56
VII. 20

- Reflektor: *Parabolspiegel*
Genauigkeitsanforderung \approx Wellenlänge
(z.B. bei $\lambda = 21$ cm reicht Hartendruck!)

- Detektor: im Primärfokus [sche auch: Cassegrain - Anordnung]
 - Antenne (meist "Horn - Antenne") ↗ Beugungsbild,
 - + Verstärker (verstärkt!)
- d.h. nur 1 Bildpunkt

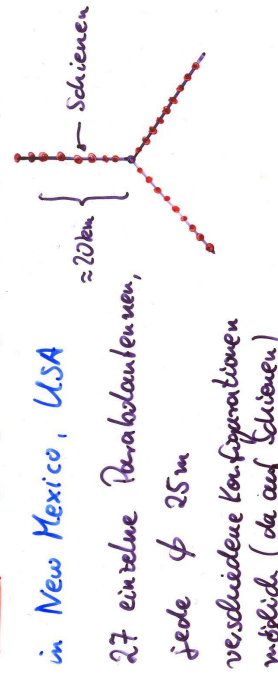
- 1) Einzel - Antenne z.B. *Eifelberg / Eifel*
schlechtes Auflösungsvermögen.
z.B. $D = 100\text{ m}$, $\lambda = 21\text{ cm}$
→ 9° (vgl. VII.1)

2.) Antennen - Arrays

7-57

- mehrere Antennen, phasengerecht zusammengebracht
- Auflösungsvermögen wie bei einer linienförmigen Antenne von Durchmesser des Arrays
 - durch interferometrische Auswertung (Erdumdrehung !)
 - Rekonstruktion von 2D-Bildern in einem kleinen "Sichtfeld"

z. B.: VLA = Very Large Array (1979)



Atacama Large Millimeter/submillimeter Array (ALMA):

7-59



LOFAR (Low Frequency Array)

7-60

- Radio-Interferometer
- relative lange Wellen:
- 10 - 80 MHz (30 - 3.8 m), 110 - 240 MHz (2.7 - 1.2 m)
- bisher ~500 Antennen-Stationen über Europa verteilt
- eine davon in Potsdam-Bornim (Abb.)



Radioteleskope

Effelsberg (Eifel, Deutschland) -
größtes bewegliches Einzel-Teleskop

Very Large Array (VLA)
New Mexico (USA)

7-58



VII. 21

Neutrino - Detektoren

Problem: geringer Reaktionsquerschnitt mit Materie!

- jedoch (theoretisch erwartet) hohe Flussdichte:
z.B. $\approx 10^{10}$ Neutrinos pro cm^2 pro sek aus der Sonne

a) Brookhaven ${}^{37}\text{CL}$ Neutrino - Detektor (seit 1970)

- 1500 m tief in der "Homestake Mine" (einem Goldbergwerk)
(South Dakota, USA)
- Abstrahlung von künstlicher Strahlung
- Tank mit 610 t C_2Cl_4 ("PER")
- Reaktion: $\nu + {}^{37}\text{Cl} \xrightarrow{\text{?}} {}^{37}\text{Ar} + e^-$
[Rückreaktion mit $\tau_{1/2} = 35\text{ d}$]
- "Auwandern" des ${}^{37}\text{Ar}$ mit He und eben ${}^{36}\text{Ar}$

7-62

- Ausfrieren des Argons auf gefühlte Abschrecke

• \rightarrow u.s Proportional zählrohr

• Abwärmen der Rückreaktien



Probleme:

- nur wenige Atome ${}^{37}\text{Ar}$ pro Durchlauf
- Schwellenergie 0.8 MeV: erfasst nur 10^{-4} der solaren Neutrinos, nicht die Hauptstrahlung

Ergebnis:

$$\text{Messung} = \frac{1}{3} \text{ Theorie}$$

→ das Sonnen-Neutrino-Problem

b) Gallex (seit 1990):

beim Gran-Sasso - Superkondensel, Italien

30 t Gallium (neu!):

als flüssiges ${}^{71}\text{Ga}$
Reaktion: $\nu + {}^{71}\text{Ga} \rightarrow {}^{71}\text{Ge} + e^-$

Schwellenergie: 0.233 MeV

→ erfasst Hauptteil der Sonnen-Neutrinos

→ bestätigte das Sonnen-Neutrino-Problem!

vermutliche Lösung:

Neutrinos haben eine Ruhemasse → Umwandlung zwischen Elektron-, μ - und τ -Neutrinos

7-64

c) Detektoren für Hochenergie-Neutrinos

• IMB [Fukui - Michigan - Brookhaven] am Erie-See, USA

• Kamiokande II (Japan)

in tiefen Bergwerken

• nur ab ≈ 10 MeV
d.h. keine Sonnen-Neutrinos

• z.T. etwas Richtungs-Auflösung

• gute Zeit - Auflösung!

Bisherige Beobachtungen:

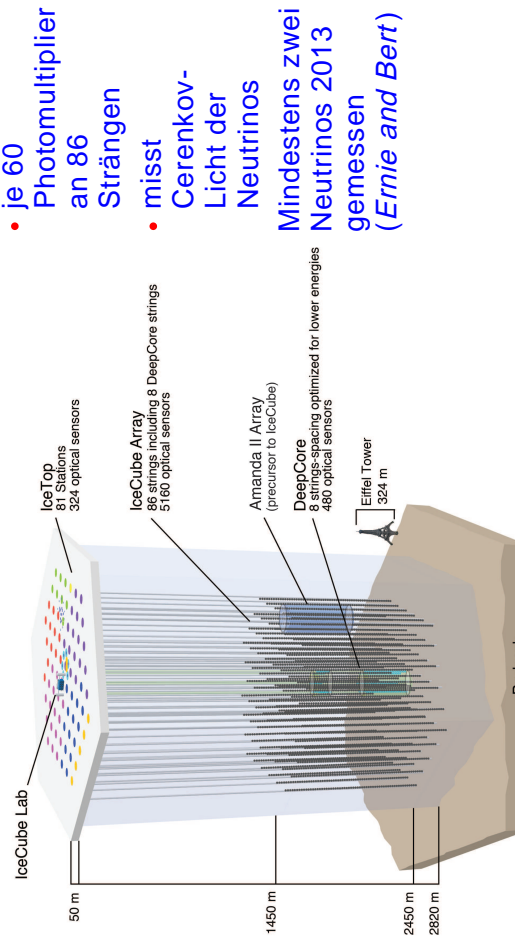
am 23.2.1987 um 7:35: 8 Neutrinos aus IMB
am " " am Kamiokande II

⇒ Expl. der Supernova 1987A
in der Großen Magellanschen Wolke

gemessene Flussdichte $\approx 10^9$ Neutrinos / cm^2

IceCube

- für Hohennergie-Neutrinos > 100 GeV
- Detektormaterial: 1 km³ Eis in der Antarktis



Gravitationswellen-Detektoren

Meßprinzip

- Abstandsmessungen durch Michelson-Interferometrie
- simultan in (mindestens) zwei verschiedenen Richtungen
 - lange Meßwege, Vervielfachung durch Spiegelung
 - Unterdrückung aller möglichen Störsignale
- GEO 600 (bei Hannover)
 - 2 x 600m Armlänge
 - LIGO (siehe Abb.)
- LIGO = Laser Interferometer Gravitational-wave Observatory (USA)
 - zwei ähnliche Detektoren an versch. Orten
 - 2 x 4 km Armlänge
 - LISA (im Weltraum)
 - Pathfinder abgelehnt



Gravitationswellen

- von der Allgemeinen Relativitätstheorie vorhergesagt
- mit c_{light} propagierende Störungen der Raumzeit
- noch nicht experimentell nachgewiesen
- mögliche Quellen:
 - enge, kompakte Doppelsterne (Neutronensterne, Schwarze Löcher)
 - verschmelzende kompakte Doppelsterne
- asymmetrischer Gravitationskollaps (Supernova)
 - Big Bang
 - Frequenzbereich: $10^{-4} \dots 10^4$ Hz
 - Amplitude: $10^{-24} \dots 10^{-20}$ relative Abstandsänderung

